

## Kapitel V

# Algorithmen auf Graphen

# Inhalt Kapitel V

- 1 Grundlegendes
- 2 Breitensuche
- 3 Tiefensuche
  - Anwendungen der Tiefensuche
- 4 Minimale Spannbäume
  - Algorithmus von Prim
  - Algorithmus von Kruskal
- 5 Kürzeste Wege
- 6 Flüsse in Netzwerken
  - Die Ford-Fulkerson Methode
  - Algorithmus von Edmonds-Karp
  - Maximale Matchings als Anwendung

# Zum Inhalt

- Grundlegendes
  - Repräsentation von Graphen **22.1**
  - Breiten- und Tiefensuche **22.2, 22.3**
  - Anwendungen der Tiefensuche **22.4, 22.5**
- Minimale Spann bäume **23**
  - Algorithmus von Prim
  - Algorithmus von Kruskal
- Kürzeste Wege **24,25**
  - Algorithmus von Dijkstra **24.3**
  - Bellman-Ford-Algorithmus **24.1**
  - Floyd-Warshall-Algorithmus **25.2**
- Flüsse in Netzwerken **26.1-26.3**

# Repräsentation von Graphen

Graph  $G = (V, E)$ , wobei  $E \subseteq V \times V$  (gerichteter Graph)  
bzw.  $E \subseteq \binom{V}{2}$  (ungerichteter Graph).

## Adjazenzlisten

Für jeden Knoten  $v \in V$  werden in einer **verketteten Liste**  $Adj[v]$   
alle Nachbarn  $u$  mit  $(v, u) \in E$  (bzw. mit  $\{v, u\} \in E$ )  
gespeichert.

Platzbedarf:  $O(|V| + |E| \log |V|)$

## Adjazenzmatrix

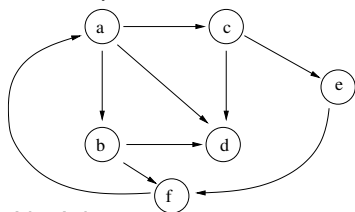
Es wird eine  $|V| \times |V|$ -Matrix  $A = (a_{ij})$  gespeichert, mit

$$a_{ij} = 1 \quad \text{genau dann, wenn} \quad (v_i, v_j) \in E .$$

Platzbedarf:  $O(|V|^2)$

# Beispiel

Ein Graph:



Als Adjazenzmatrix:

	a	b	c	d	e	f
a	0	1	1	1	0	0
b	0	0	0	1	0	1
c	0	0	0	1	1	0
d	0	0	0	0	0	0
e	0	0	0	0	0	1
f	1	0	0	0	0	0

In mathematischer Notation:

$$G = (V, E)$$

$$V = \{a, b, c, d, e, f\}$$

$$E = \{(a, b), (a, c), (a, d), (c, e), (b, f), (e, f), (f, a)\}$$

Mit Adjazenzlisten:

$$\begin{array}{l|l} a & [b; c; d] \\ b & [d; f] \\ c & [d; e] \\ d & [] \\ e & [f] \\ f & [a] \end{array}$$

# Breitensuche

**Gegeben:** Graph  $G$  (als Adjazenzlisten), ausgezeichneter Startknoten  $s \in V$ .

**Gesucht** für jeden Knoten  $v \in V$ : kürzester Pfad zu  $s$  und Distanz  $d[v]$ .

Speichere für jedes  $v \in V$  den Vorgänger  $\pi[v]$  auf kürzestem Pfad zu  $s$ .

Initialisiere  $\pi[v] = \text{NIL}$  und  $d[v] = \infty$  für alle  $v \in V$ .

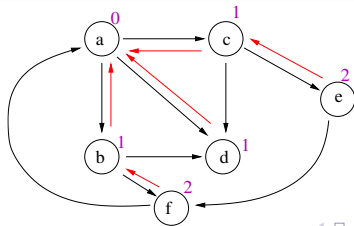
Setze  $d[s] = 0$  und speichere  $s$  in einer *FIFO-queue*  $Q$ .

# Breitensuche in Pseudocode

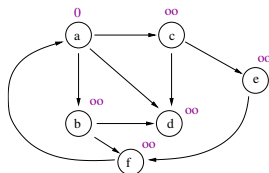
## Breitensuche

```
put(Q,s)
while Q ≠ ∅
  do v ← get(Q)
    for each u ∈ Adj[v] with d[u] = ∞
      do d[u] ← d[v] + 1
         π[u] ← v
         put(Q, u)
```

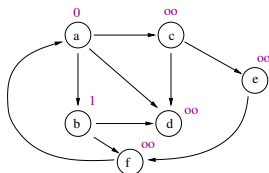
Beispiel mit  $s = a$ :



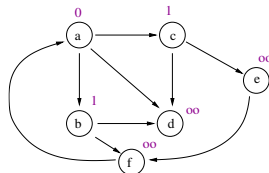
# Beispiel



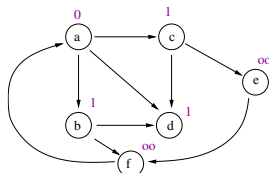
a



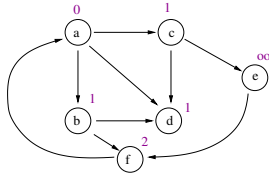
b



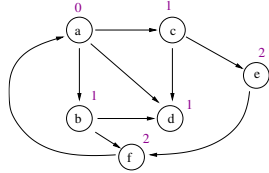
bc



bcd



cdf



dfe

Zeilenweise v.l.n.r. zu lesen. Die Queue ist jeweils grün dargestellt.  
Die  $\pi$ -Zeiger wurden weggelassen.

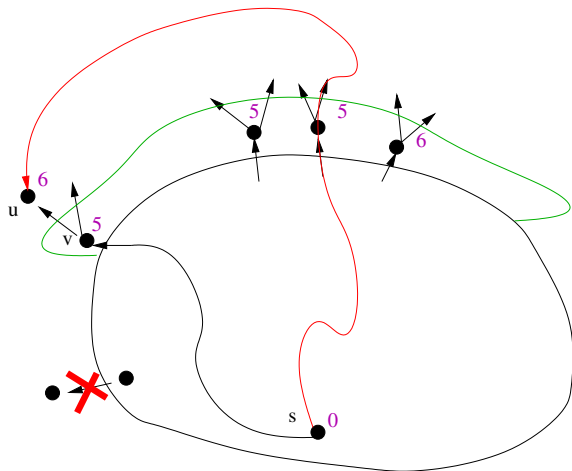
## Korrektheit der Breitensuche

Man beweist die Korrektheit (Distanzen stimmen,  $\pi$ -Zeiger definieren kürzeste Pfade) mithilfe der folgenden Invariante:

- Alle  $d$ -Einträge  $\neq \infty$  und alle  $\pi$ -Einträge  $\neq \text{NIL}$  sind korrekt.
- Die  $d$ -Einträge innerhalb der Schlange unterscheiden sich um maximal Eins und nehmen nicht ab. Also 5,5,5,5,5,5,5,5 oder 5,5,5,5,5,6,6,6,6,6
- Die Nachbarn von abgearbeiteten Knoten sind entweder selbst abgearbeitet, oder in der Queue.

Am Ende sind also alle von  $s$  aus erreichbaren Knoten abgearbeitet und korrekt beschriftet.

# Korrektheit der Breitensuche



Abgearb. Bereich und kürzester Pfad von  $s$  nach  $v$  in schwarz.  
Queue in grün, anderer Pfad vom Startknoten  $s$  nach  $u$  in rot. Aus dem abgearb. Bereich heraus kommt man nur über die Queue.

# Tiefensuche

Tiefensuche (Depth-First-Search, DFS):

*Sucht jeden Knoten einmal auf, sondert eine Teilmenge der Kanten aus, die einen Wald (den **DFS-Wald**) bilden.*

Hilfsmittel **Färbung**:

- Weiß  $\hat{=}$  noch nicht besucht.
- Grau  $\hat{=}$  schon besucht, aber noch nicht abgefertigt
- Schwarz  $\hat{=}$  abgefertigt, d.h. der gesamte von hier erreichbare Teil wurde durchsucht.

# Pseudocode für Tiefensuche

## Tiefensuche

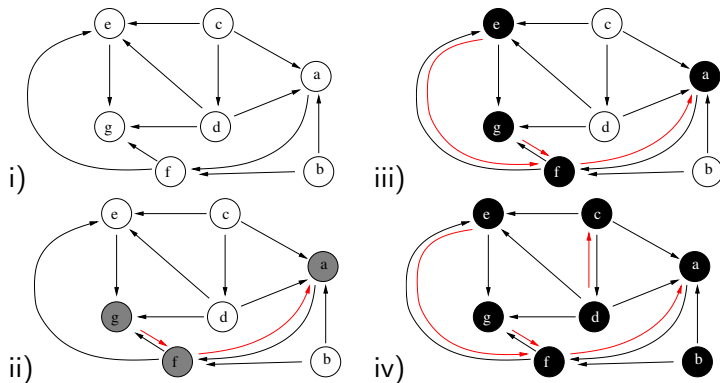
DFS( $G$ )

initialisiere  $color[v] \leftarrow white$  und  $\pi[v] \leftarrow NIL$  für alle  $v \in V$   
**for** each  $v \in V$   
    **do if**  $color[v] = white$   
        **then** DFS-VISIT( $G, v$ )

DFS-VISIT( $G, v$ )

$color[v] \leftarrow grey$   
**for** each  $u \in Adj[v]$  with  $color[u] = white$   
    **do**  $\pi[u] \leftarrow v$   
        DFS-VISIT( $G, u$ )  
 $color[v] \leftarrow black$

# Beispiel



Durchführung der DFS in alphabetischer Reihenfolge.

Gezeigt sind der Eingabegraph, zwei Zwischenstadien, und das Endergebnis. NB:  $Adj[f] = [g; e]$ , alle anderen in alphabetischer Reihenfolge.

## Abfertigungszeiten

Die DFS liefert noch mehr Information, wenn man eine “Uhr” mitlaufen lässt und zu jedem Knoten  $v$  die

- **Entdeckungszeit**  $d[v]$  (*discovery time*) und die
- **Abfertigungszeit**  $f[v]$  (*finishing time*)

abspeichert.

Die Uhr wird vor jeder Zeitzuweisung weitergestellt.

# Tiefensuche: Pseudocode

## Tiefensuche mit Zeiten

DFS( $G$ )

initialisiere  $color[v] \leftarrow white$  und  $\pi[v] \leftarrow NIL$  für alle  $v \in V$   
 $time \leftarrow 0$

**for** each  $v \in V$

**do if**  $color[v] = white$

**then** DFS-VISIT( $G, v$ )

DFS-VISIT( $G, v$ )

$color[v] \leftarrow grey$

$d[v] \leftarrow ++time$

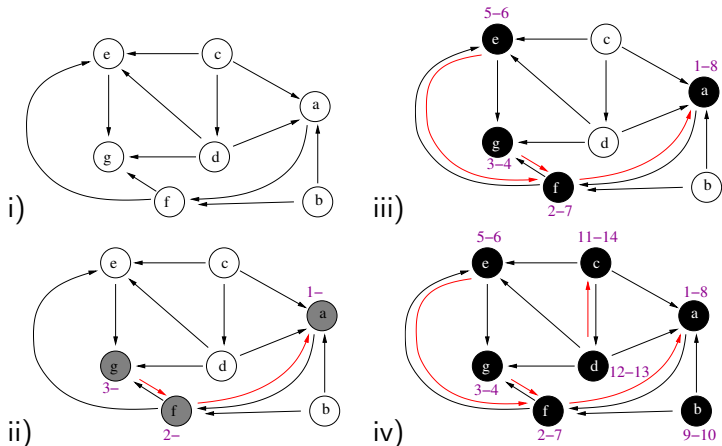
**for** each  $u \in Adj[v]$  with  $color[u] = white$

**do**  $\pi[u] \leftarrow v$

        DFS-VISIT( $G, u$ )

$color[v] \leftarrow black; f[v] \leftarrow ++time$

# Beispiel mit Zeiten



Durchführung der DFS mit Zeiten in alphabetischer Reihenfolge. Gezeigt sind der Eingabegraph, zwei Zwischenstadien, und das Endergebnis.

## Klammerungseigenschaft

Seien  $u, v \in V$  und  $u \neq v$ . Die folgenden drei Fälle sind möglich:

- $d[u] < d[v] < f[v] < f[u]$  und  $v$  ist Nachfahre von  $u$  im DFS-Wald.
- $d[v] < d[u] < f[u] < f[v]$  und  $u$  ist Nachfahre von  $v$  im DFS-Wald.
- $[d[u], f[u]] \cap [d[v], f[v]] = \emptyset$  und weder ist  $u$  Nachfahre von  $v$  im DFS-Wald noch umgekehrt.

Insbesondere ist die Konstellation  $d[u] < d[v] < f[u] < f[v]$  unmöglich und der DFS-Wald lässt sich aus den Aktivitätsintervallen  $[d[v], f[v]]$  eindeutig rekonstruieren.

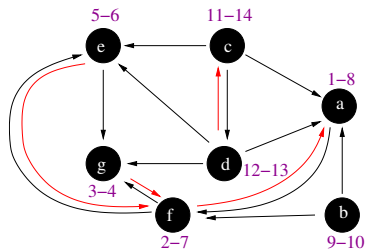
## Klassifikation der Kanten

Durch DFS werden die Kanten eines Graphen in die folgenden vier Typen klassifiziert.

- **Baumkanten** sind die Kanten des DFS-Waldes, also  $(u, v)$  mit  $\pi[v] = u$ .  
Kennzeichen: Beim ersten Durchlaufen ist  $v$  weiß.
- **Rückwärtskanten**  $(u, v)$ , wo  $v$  Vorf. von  $u$  im DFS-Wald ist.  
Kennzeichen: Beim ersten Durchlaufen ist  $v$  grau.
- **Vorwärtskanten**  $(u, v)$ , wo  $v$  Nachk. von  $u$  im DFS-Wald ist.  
Kennzeichen: Beim ersten Durchlaufen ist  $v$  schwarz, und  $d[u] < d[v]$ .
- **Queranten** sind alle übrigen Kanten  $(u, v)$ .  
Kennzeichen: Beim ersten Durchlaufen ist  $v$  schwarz, und  $d[u] > d[v]$ .

Bei **ungerichteten** Graphen kommen nur Baum- und Rückwärtskanten vor.

## Beispiel



- Die Kante  $(a, f)$  ist Baumkante.
- Wäre die Adjazenzliste von  $a$  gleich  $[f; e]$  statt nur  $[f]$ , so wäre  $(a, e)$  eine Vorwärtskante. Bei ihrem ersten Durchlaufen würde  $e$  bereits schwarz vorgefunden.
- Wäre die Adjazenzliste von  $f$  gleich  $[g; e; a]$  statt nur  $[g; e]$ , so wäre  $(f, a)$  eine Rückwärtskante. Bei ihrem ersten Durchlaufen würde  $a$  grau vorgefunden.
- Die Kante  $(e, g)$  ist Querkante.

# Topologische Sortierung

Eine **topologische Ordnung** eines gerichteten, azyklischen Graphen (**dag**) ist eine lineare Ordnung der Knoten

$$v_1 \prec v_2 \prec \dots \prec v_n$$

so dass für jede Kante  $(u, v) \in E$  gilt  $u \prec v$ .

## Lemma

Ein gerichteter Graph ist genau dann azyklisch, wenn bei DFS keine Rückwärtskanten entstehen.

## Satz

Eine topologische Ordnung auf einem dag  $G$  erhält man durch absteigende Sortierung nach den *finishing times*  $f[v]$  nach Ausführung von DFS( $G$ ).

Topologische Ordnung im Beispiel:  $c \prec d \prec b \prec a \prec f \prec e \prec g$ .

# Beweis des Lemmas

## Lemma

Ein gerichteter Graph ist genau dann azyklisch, wenn bei DFS keine Rückwärtskanten entstehen.

Beweis:

- Logisch äquivalent: Zyklus vorhanden  $\iff$  Rückwärtskante vorhanden.
- Jede Rückwärtskante liegt nach Def. auf einem Zyklus (Beweis von  $\Leftarrow$ ).
- Sei ein Zyklus vorhanden und  $v$  sein als erstes entdeckter Knoten und  $(u, v)$  die Kante auf dem Zyklus, die zu  $v$  zurückführt. Die DFS exploriert alles von  $v$  Erreichbare, also auch  $u$ . Die genannte Kante wird dann Rückwärtskante. (Beweis von  $\Rightarrow$ ).

# Beweis des Satzes

## Satz

Eine topologische Ordnung auf einem dag  $G$  erhält man durch absteigende Sortierung nach den *finishing times*  $f[v]$  nach Ausführung von DFS( $G$ ).

Beweis: Sei  $(u, v)$  eine Kante. Wir müssen zeigen  $f[u] > f[v]$ .

- Fall  $d[u] < d[v]$ . Dann muss die Kante  $(u, v)$  beschriftet werden, bevor  $u$  als abgearbeitet gelten kann. Dann aber war entweder  $v$  schon abgearbeitet oder wird es dann. Also  $f[v] < f[u]$ .
- Fall  $d[v] < d[u]$ . Nach Lemma kann  $(u, v)$  keine Rückwärtskante sein, ist also eine Querkante. Dann ist  $v$  beim Beschreiten bereits abgefertigt, also  $f[v] < f[u]$ .

# Zusammenhang

**Weg** (oder **Pfad**) von  $v_0$  nach  $v_k$ :

$$p = \langle v_0, \dots, v_k \rangle \text{ mit } (v_i, v_{i+1}) \in E \text{ für alle } i < k .$$

Schreibweise:  $p : v_0 \rightsquigarrow v_k$ .

Für ungerichtete Graphen:

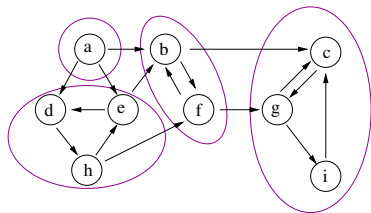
*Zwei Knoten  $u$  und  $v$  heißen **zusammenhängend**, wenn es einen Weg  $p : u \rightsquigarrow v$  gibt.*

Für gerichtete Graphen:

*Zwei Knoten  $u$  und  $v$  heißen **stark zusammenhängend**, wenn es Wege  $p : u \rightsquigarrow v$  und  $q : v \rightsquigarrow u$  gibt.*

Die Äquivalenzklassen bzgl. dieser Äquivalenzrelation heißen **(starke) Zusammenhangskomponenten (SCC)**.

# Graph mit SCC



- Es gibt einen Pfad von  $g$  nach  $i$ , z.B.:  $g \rightarrow c \rightarrow i$  und einen Pfad von  $i$  nach  $g$ , z.B.:  $i \rightarrow c \rightarrow g$ . Also hängen  $g$  und  $i$  stark zusammen und liegen in derselben SCC.
- Es gibt einen Pfad von  $a$  nach  $h$ , z.B.:  $a \rightarrow e \rightarrow d \rightarrow h$ , aber keinen Pfad von  $h$  nach  $a$ . Also sind  $a$  und  $h$  nicht stark zusammenhängend und liegen nicht in derselben SCC.
- Jeder Knoten liegt in genau einer SCC.
- Die SCCs bilden selbst die Knoten eines *dag* (ger. azykl. Graph), der eine Kante von SCC  $U$  nach SCC  $V$  besitzt, wenn es eine Kante von einem Knoten in  $U$  zu einem Knoten in  $V$

# Zerlegung in starke Zusammenhangskomponenten

## Definition

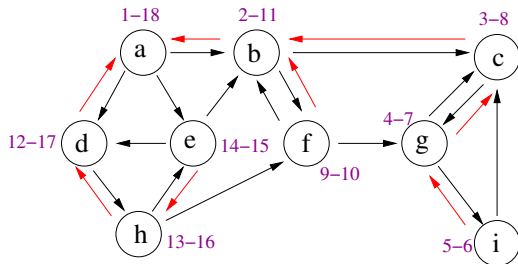
Der zu  $G = (V, E)$  transponierte Graph ist  $G^T := (V, E^T)$ , wobei  $(u, v) \in E^T$  gdw.  $(v, u) \in E$ .

Folgender Algorithmus zerlegt  $G$  in seine starken Zusammenhangskomponenten:

## Zerlegen in SCC

- Zuerst wird  $\text{DFS}(G)$  aufgerufen.
- Sortiere die Knoten nach absteigender *finishing time*.
- Berechne  $G^T$ .
- Rufe  $\text{DFS}(G^T)$  auf, wobei die Knoten im Hauptprogramm in der Reihenfolge der obigen Sortierung behandelt werden.
- Starke Zusammenhangskomponenten von  $G$  sind die Bäume des im zweiten DFS berechneten DFS-Waldes.

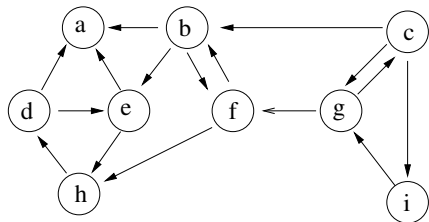
# Beispiel: Durchführung der ersten DFS



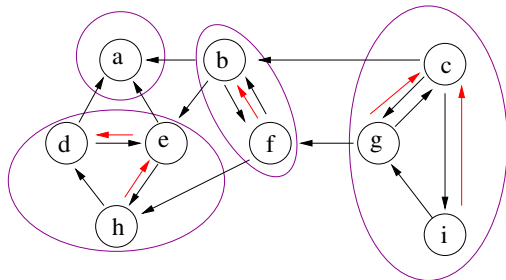
Sortierung nach absteigenden finishing times:

*a, d, h, e, b, f, c, g, i*

# Bsp: Transponierter Graph und Durchf. der 2. DFS



Reihenfolge für die DFS:  $a, d, h, e, b, f, c, g, i$



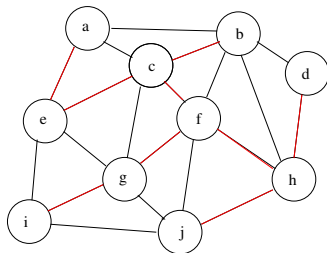
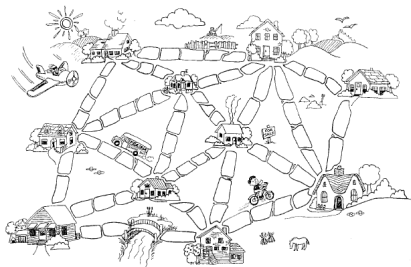
# Korrektheitsbeweis

- Sei  $u$  Wurzel eines DFS Baums der zweiten Suche und  $v$  Nachfahre. Dann gibt einen Pfad in  $G^T$  von  $u$  nach  $v$ , also  $v \rightsquigarrow u$  in  $G$  selbst.  
In der zweiten Suche kam dann  $u$  vor  $v$  dran, also wurde in der ersten Runde  $u$  später als  $v$  abgefertigt. Entweder ist  $d[u] > f[v]$  oder  $d[u] < d[v]$  (Schachtelungseigenschaft). Der erste Fall ist wg  $v \rightsquigarrow u$  nicht möglich, im zweiten Falle ist  $v$  ein DFS-Nachfolger von  $u$ , also  $u \rightsquigarrow v$ . Also hängen  $u$  und  $v$  stark zusammen. Wg. Symmetrie und Transitivität hängt somit jeder Baum der zweiten Suche stark zusammen.
- Umgekehrt sei es jetzt so, dass  $u$  und  $v$  nicht im selben Baum der 2. DFS liegen. O.B.d.A. nehmen wir an, dass  $f[u] > f[v]$ . Dann wird also  $u$  vor  $v$  betrachtet und wenn es einen Pfad gibt von  $u$  nach  $v$  (in  $G^T$ ), dann wird dieser auch entdeckt. Also gibt es keinen Pfad von  $u$  nach  $v$  in  $G^T$  und  $u, v$  sind nicht in derselben SCC.

# Spannbäume

## Definition

Gegeben sei ein zusammenhängender, unger. Graph  $G = (V, E)$ . Ein **Spannbaum** von  $G$  ist eine Teilmenge  $T \subseteq E$  der Kanten, sodass  $(V, T)$  azyklisch ist und je zwei Knoten  $u, v \in V$  durch einen Pfad in  $T$  verbunden sind.

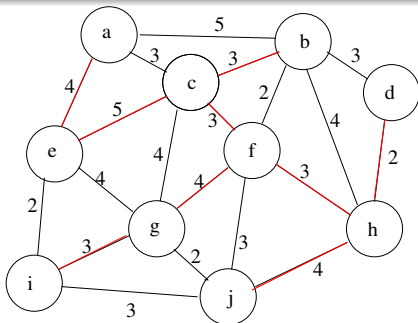


Stadtplan aus [Bell, Witten, Fellows: Comp. Sci. Unplugged, 1998].  
Spannbaum im entsprechenden Graphen in Rot.

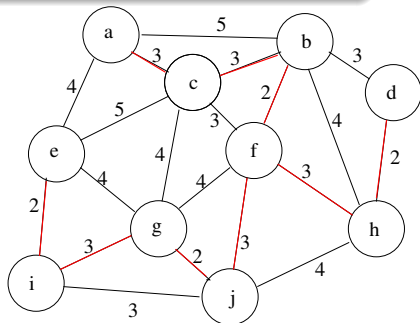
# Minimaler Spannbaum

## Definition

Sei  $G = (V, E)$  ein unger. zush. Graph und  $w : E \rightarrow \mathbb{R}_0^+$  eine Funktion, die jeder Kante ein "Gewicht" zuordnet. Ein **minimaler Spannbaum** (MST) ist ein Spannbaum  $T$ , sodass  $\sum_{e \in T} w(e)$  **minimal**, also so klein wie möglich, ist.



Ein (nichtminimaler) Spannbaum vom Gewicht 31



Ein minimaler Spannbaum vom Gewicht 23

## Anwendungen minimaler Spann­b­ume (MST)

- Planung von Versorgungsnetzen
- Clustering: Knoten = Datens­atze, Kanten = “N­ah­e”. Bilde minimalen Spannbaum, l­osche Kanten gro­Ben Gewichts. Spannbaum zerf­allt in Cluster.
- Elektrische Netzwerke (Kirchhoff'sches Gesetz).
- Routenplanung (“Problem des Handlungsreisenden”).
- “Grundrechenart” der Graphalgorithmen. Sehr effizient zu berechnen, wird daher wo immer m­oglich verwendet. Vgl. Zucker in Lebensmitteln.

# Grundalgorithmus

## Definition

Sei  $A \subseteq E$  Teilmenge eines minimalen Spannbaumes. Kante  $e$  heit **sicher** fr  $A$ , falls  $A \cup \{e\}$  immer noch Teilmenge eines minimalen Spannbaumes ist.

Grundstruktur eines Greedy Algorithmus zur Berechnung eines minimalen Spannbaums:

## Greedy-MST

Beginne mit  $A \leftarrow \emptyset$ , fge dann sukzessive Kanten hinzu, die sicher fr  $A$  sind.

Noch bentigt: Strategie zur Findung sicherer Kanten.

## Finden sicherer Kanten

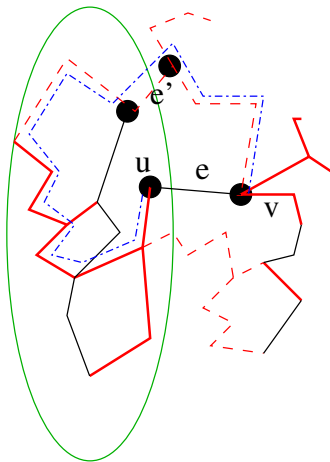
### Definition

F­ur  $S \subseteq V$  und  $e \in E$  sagen wir “ $e$  **kreuzt**  $S$ ”, falls  $e = \{u, v\}$  mit  $u \in S$  und  $v \in V \setminus S$ .

### Satz

Sei  $A$  Teilmenge eines minimalen Spannbaumes, sei  $S \subseteq V$  mit der Eigenschaft: keine Kante in  $A$  kreuzt  $S$ , und sei  $e$  eine Kante minimalen Gewichtes, die  $S$  kreuzt.  
Dann ist  $e$  sicher f­ur  $A$ .

## Beweis des Satzes



- Rot fett: die Teilmenge  $A$ ;
- Rot gestrichelt: ein MST, der  $A$  erweitert. Dieser heie  $T$ .
- Schwarz: andere Kanten des Graphen (exemplarisch);
- Grn: Die Menge  $S$ ;
- $e = \{u, v\}$ : Kante minimalen Gewichts, die  $S$  kreuzt;  $u \in S, v \notin S$ .
- Der MST, der  $A$  erweitert, muss auch  $u$  mit  $v$  durch einen Pfad (blau markiert) verbinden.
- Dieser Pfad muss mindestens eine Kante  $e'$  enthalten, die auch  $S$  kreuzt. NB  $w(e') \geq w(e)$  wg. Minim. von  $e$ .
- Ist  $e' = e$ , so ist natrlich  $e = e'$

# Der Algorithmus von Prim

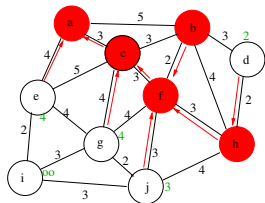
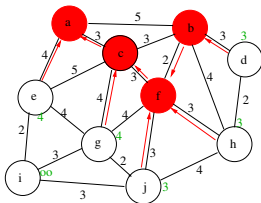
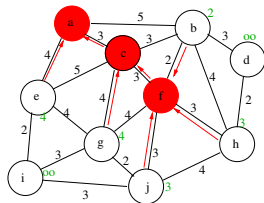
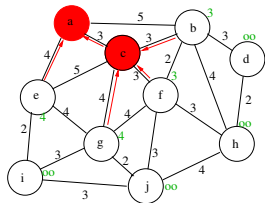
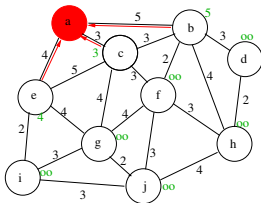
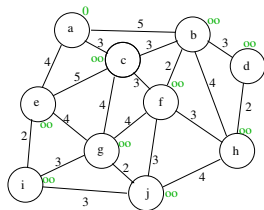
Benutzt eine Priority-Queue  $Q$ .

## Prim

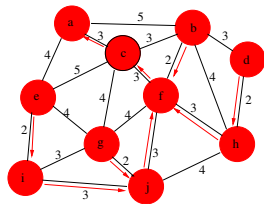
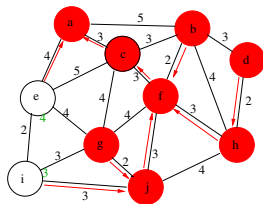
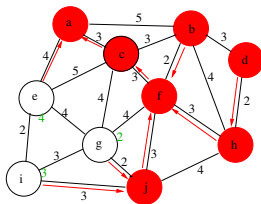
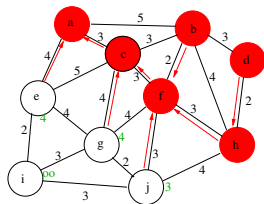
- Eingabe:  $G$  mit Gewichtsfunktion  $w$  und Anfangsknoten  $r \in V$ .
- Initialisiere  $Q$  mit allen  $v \in V$ , mit  $key[v] = \infty$ .
- Setze  $key[r] \leftarrow 0$  und  $\pi[r] \leftarrow \text{NIL}$ .
- Solange  $Q$  nicht leer ist, setze  $v \leftarrow \text{EXTRACT-MIN}(Q)$ :  
*Für alle Nachbarn  $u \in \text{Adj}[v]$ , die noch in  $Q$  sind, und für die  $w(\{u, v\}) < key[u]$  ist, setze  $\pi[u] \leftarrow v$  und  $key[u] \leftarrow w(\{u, v\})$ .*

Der Baum  $A$  ist implizit gegeben durch  
 $\{ \{v, \pi[v]\}; v \in (V \setminus Q \setminus \{r\}) \}$ .

# Beispiel für Alg. von Prim



# Beispiel



Gewicht des entstehenden Spannbaums: 23 (korrekt)

## Korrektheit & Laufzeit des Algorithmus von Prim

- Die Menge  $A$  entspricht den Kanten  $(\pi[v], v)$ , wobei  $v \notin Q$ , also ein bereits entfernter Knoten ist.
- Die Knoten  $v \in Q$  mit  $key[v] < \infty$  sind von  $A$  aus über eine Kante erreichbar.
- Der Wert  $key[v]$  gibt das Gewicht der leichtesten Kante, die  $v$  mit  $A$  verbindet, an.
- Die  $\pi$ -Zeiger entsprechen jeweils dieser leichtesten Kante.
- Nach dem Lemma ist die  $\pi$ -Kante des jeweils gewählten Knoten **sicher**. Es folgt, dass zu jedem Zeitpunkt  $A$  Teilmenge eines MST ist und zum Schluss **ist** dann  $A$  ein MST.

Laufzeit des Algorithmus mit  $Q$  als Heap:

$$O(|V| \log |V|) + O(|E| \log |V|) = O(|E| \log |V|)$$

Jeder Knoten wird einmal abgearbeitet, jede Kante wird zweimal beschriftet. Jeweils  $O(\log |V|)$  Arbeit für die Heap-Operationen.

# Der Algorithmus von Kruskal

Benutzt eine UNION-FIND-Datenstruktur.

Erinnerung: Diese Datenstruktur verwaltet ein System disjunkter Mengen von "Objekten" und bietet folgende Operationen an:

- INIT Initialisieren
- MAKE-SET( $x$ ) Fügt eine neue Einermenge mit Inhalt  $x$  hinzu.
- FIND( $x$ ) Ist  $x$  in einer Menge enthalten, so liefere diese in Form eines kanonischen Elementes zurück. Anderenfalls liefere NIL o.ä. zurück. Insbesondere kann man durch den Test  $\text{FIND}(x) = \text{FIND}(y)$  feststellen, ob zwei bereits eingefügte Elemente in derselben Menge liegen.
- UNION( $x, y$ ): Sind  $x$  und  $y$  in zwei verschiedenen Mengen enthalten, so vereinige diese zu einer einzigen. Anschließend gilt also insbesondere  $\text{FIND}(x) = \text{FIND}(y)$ .

Beachte: man kann Mengen und Elemente nicht wieder entfernen oder auseinanderreißen.

# Kruskal's Algorithmus

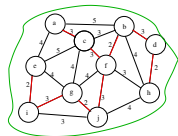
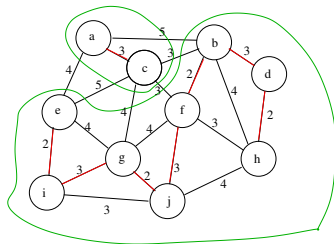
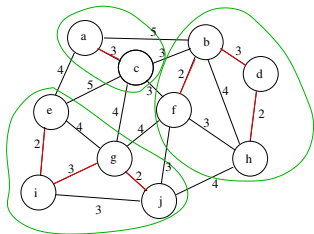
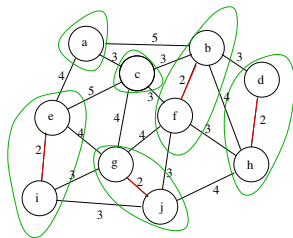
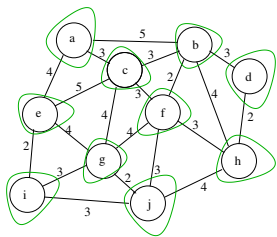
## Kruskal

- Setze  $A := \emptyset$ .
- Rufe  $\text{MAKE-SET}(v)$  für jeden Knoten  $v \in V$  auf.
- Sortiere die Kanten aufsteigend nach Gewicht.
- Für jede Kante  $e = \{u, v\}$ , in der sortierten Reihenfolge, prüfe ob  $\text{FIND}(u) \neq \text{FIND}(v)$ .
- Falls ja, füge  $e$  zu  $A$  hinzu, und rufe  $\text{UNION}(u, v)$  auf, sonst weiter.

Laufzeit  $O(|E| \log |E|)$ . Dominiert durch den Sortieraufwand.

Reduziert sich auf  $O(|E| \log^* |E|)$  falls Kanten schon vorsortiert sind.

## Beispiel



# Korrektheit von Kruskals Algorithmus

- Die Kantenmenge  $A$  ist hier expliziter Bestandteil. Die Invariante lautet also, dass  $A$  Teilmenge eines MST ist.
- Es werde zu einem gewissen Zeitpunkt die Kante  $e$  gewählt.
- Diese Kante verbindet zwei Zusammenhangskomponenten von  $A$ .
- Eine von diesen bezeichnen wir mit  $S$ .
- Klar ist, dass diese Menge  $S$  von keiner Kante aus  $A$  gekreuzt wird.
- Die Kante  $e$  hat minimales Gewicht in  $E \setminus A$  überhaupt, also insbesondere unter denen, die  $S$  kreuzen. Sie ist daher sicher.

# Kürzeste Wege

Gegeben: gerichteter Graph  $G = (V, E)$  mit Kantengewichten  
 $w : E \rightarrow \mathbb{R}$ .

Für einen Weg  $p : v_0 \rightsquigarrow v_k$

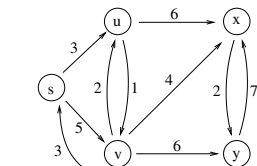
$$p = \langle v_0, \dots, v_k \rangle \text{ mit } (v_i, v_{i+1}) \in E \text{ für alle } i < k .$$

sei das Gewicht des Weges  $p$  definiert als:

$$w(p) = \sum_{i=1}^k w((v_{i-1}, v_i))$$

**Minimaldistanz** von  $u$  nach  $v$ :

$$\delta(u, v) = \begin{cases} \min\{w(p) ; p : u \rightsquigarrow v\} \\ \infty \end{cases}$$



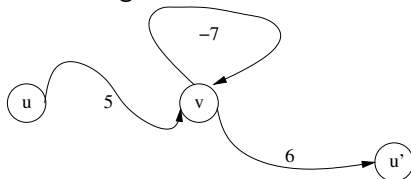
falls  $v$  von  $u$  erreichbar ist,  
sonst.

**Kürzester Weg** von  $u$  nach  $v$ :

Pfad  $p : u \rightsquigarrow v$  mit  $w(p) = \delta(u, v)$ .

## Negative Zyklen und Algorithmen

**Zusätzliche Schwierigkeit:** Gibt es einen **negativen Zyklus**  $p : v \rightsquigarrow v$  mit  $w(p) < 0$ , so ist  $\delta(u, u')$  nicht wohldefiniert, falls es einen Weg von  $u$  nach  $u'$  über  $v$  gibt.



Algorithmen für kürzeste Wege von einem gegebenen Startpunkt  $s$ :

**Dijkstra:** nimmt an, dass  $w(e) \geq 0$  für alle  $e \in E$ .

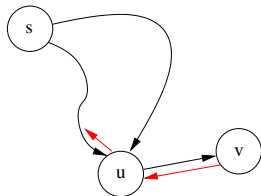
**Bellman-Ford:** Entdeckt die Präsenz negativer Zyklen und liefert korrekte kürzeste Wege, falls es keinen gibt. Dafür aber aufwendiger als **Dijkstra**.

## Optimale Teillösungen

Ist  $p = \langle v_0, \dots, v_k \rangle$  ein kürzester Weg von  $v_0$  nach  $v_k$ ,  
so ist für alle  $0 \leq i < j \leq k$  der Pfad

$$p_{ij} = \langle v_i, \dots, v_j \rangle$$

ein kürzester Weg von  $v_i$  nach  $v_j$ .



Daher reicht es zur Angabe eines kürzesten Weges von  $s$  zu  $v$  für  
alle  $v \in V$ , für jeden Knoten  $v \neq s$  einen Vorgänger  $\pi[v]$   
anzugeben.

# Initialisierung

## Initialise

```
INITIALISE( $G, s$ ) :  
  for  $v \in V$  do  
     $d[v] \leftarrow \infty$   
     $\pi[v] \leftarrow \text{NIL}$   
   $d[s] \leftarrow 0$ 
```

# Relaxierung

Algorithmen halten für jedes  $v \in V$  eine Abschätzung  $d[v] \geq \delta(s, v)$  und einen vorläufigen Vorgänger  $\pi[v]$ .

## Relax

RELAX( $u, v$ )

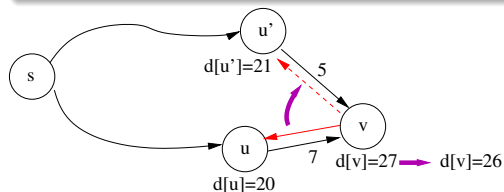
▷ testet, ob der bisher gefundene kürzeste Pfad zu  $v$

▷ durch die Kante  $(u, v)$  verbessert werden kann

**if**  $d[v] > d[u] + w((u, v))$

**then**  $d[v] \leftarrow d[u] + w((u, v))$

$\pi[v] \leftarrow u$

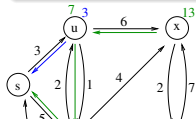


# Eigenschaften der Relaxierung

## Lemma

Wird für einen Graphen  $G$  und  $s \in V$  erst  $\text{INITIALIZE}(G, s)$ , und dann eine beliebige Folge von  $\text{RELAX}(u, v)$  für Kanten  $(u, v)$  ausgeführt, so gelten die folgenden Invarianten:

- 1  $d[v] \geq \delta(s, v)$  für alle  $v \in V$ .
- 2 Ist irgendwann  $d[v] = \delta(s, v)$ , so ändert sich  $d[v]$  nicht mehr.
- 3 Gibt es einen kürzesten Pfad von  $s$  zu  $v$ , der in der Kante  $(u, v)$  endet, und ist  $d[u] = \delta(s, u)$  vor dem Aufruf  $\text{RELAX}(u, v)$ , so ist danach  $d[v] = \delta(s, v)$ .
- 4 Ist  $d[v] \neq \infty$ , so existiert ein Pfad  $s \rightsquigarrow \pi[v] \rightarrow v$  der Länge  $d[v]$ .



# Der Algorithmus von Dijkstra

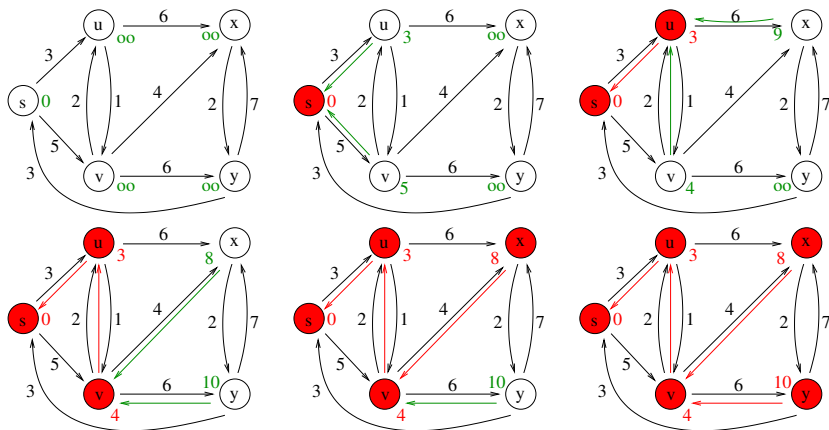
Benutzt eine *priority queue*  $Q$ , die Knoten  $v \in V$  mit Schlüssel  $d[v]$  hält.

## Dijkstra Algorithmus

DIJKSTRA( $G, w, s$ )

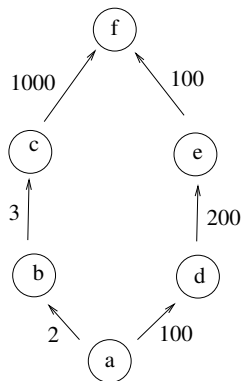
- Rufe INITIALIZE( $G, s$ ) auf, setze  $Q \leftarrow V$ .
- Solange  $Q \neq \emptyset$  ist, setze  $u \leftarrow \text{EXTRACT-MIN}(Q)$ .
- Für jedes  $v \in \text{Adj}[u]$  führe RELAX( $u, v$ ) aus.  
Für die Absenkung eines  $d$ -Wertes ist DECREASE-KEY zu verwenden.  
Anschließend nächste Iteration.

# Beispiel



$d$ - und  $\pi$ -Felder in Grün/Rot. Rot=Permanent.

## Weiteres Beispiel



- Knoten werden in der Reihenfolge a,b,c,d,e,f abgefertigt.
- Erst bei der Bearbeitung von e wird  $\pi[f]$  auf e gesetzt; bis dahin gilt  $\pi[f] = c$ .

## Korrektheit des Dijkstra Algorithmus

### Invariante

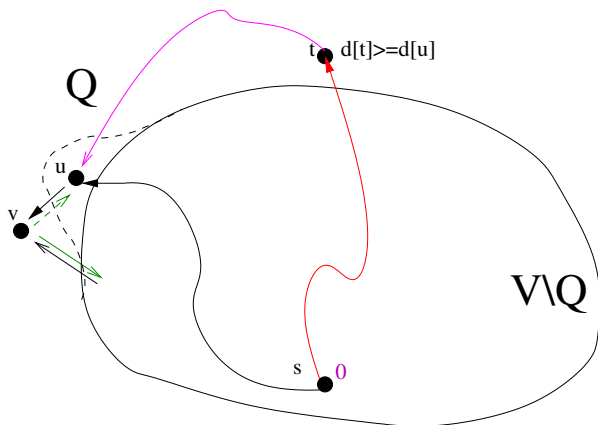
$d[u]$  ist für alle Knoten in  $V \setminus Q$  korrekt eingetragen; für  $v \in Q$  hält  $d[v]$  den kürzesten Weg, dessen innere Knoten (also die außer  $s$  und  $v$  alle in  $V \setminus Q$  sind). Die  $\pi$ -Felder realisieren diese kürzesten Wege.

Die Invariante gilt offensichtlich vor der Schleife.

Gilt sie unmittelbar vor einem Schleifendurchlauf, so gilt sie auch nachher aus folgendem Grund:

Sei  $u = \text{EXTRACT-MIN}(Q)$  der gewählte Knoten. Der kürzeste Pfad nach  $u$ , der nur innere Knoten aus  $V \setminus Q$  ist kürzester Pfad überhaupt, denn jeder Pfad nach  $u$  muss irgendwann  $V \setminus Q$  verlassen und verläuft dann durch einen Knoten mit schlechterem  $d$ -Wert (vgl. Korrektheit der Breitensuche). Hier geht die Voraussetzung: “keine negativen Kantengewichte” ein.

## Beweis der Invarianten, Forts.



Beliebiger anderer Pfad nach  $u$  in rot/lila, verlässt  $V \setminus Q$  bei  $t$ .  
 $d[u] \leq d[t] \leq$  Länge des roten Anteils. Länge des lila Anteils  $\geq 0$ .  
Durch Relaxierung wird die Invariante für Nachbarn  $v$  wiederhergestellt.

## Korrektheit und Laufzeit des Dijkstra Algorithmus

Die Invariante gilt also insbesondere, wenn  $Q = \emptyset$  und es sind dann alle Wege richtig eingetragen.

### Laufzeit

Hängt von der Realisierung der queue  $Q$  ab.

Als Liste:  $O(|V|^2)$                       Als Heap:  $O(|E| \log |V|)$

Als Fibonacci-Heap (s. CORMEN):

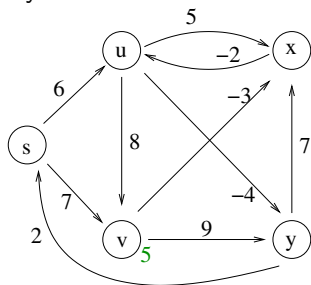
$O(|V| \log |V| + |E|)$ .

Zusammenfassung Dijkstra:

- Kürzeste Wege in gerichteten Graphen mit nichtnegativen Kantengewichten.
- Sukzessive Relaxierung aller Nachbarn. Jeweils der Knoten mit aktuell kürzestem Abstand wird gewählt.

## Negative Kantengewichte

Ein Graph mit negativen Kantengewichten, aber keinen negativen Zyklen.



Negative Zyklen können für Arbitragegeschäfte eingesetzt werden:

- Knoten = Währungen (EUR, GBP, USD, SFR, JPY, ...)
- Kantengewichte =  $\log(\text{Umtauschkurs})$
- Also: Pfadgewichte =  $\log(\text{Kurs bei entsprechender Kette von Umtäuschen})$
- Negativer Zyklus: Gelegenheit für Arbitragegeschäft.

# Der Algorithmus von Bellman-Ford

## Bellman-Ford

BELLMAN-FORD( $G, w, s$ )

- Rufe INITIALIZE( $G, s$ ) auf.
- Wiederhole  $|V| - 1$  mal:

*Für jede Kante  $(u, v) \in E$  rufe RELAX( $u, v$ ) auf.*

- Für jede Kante  $(u, v) \in E$ , teste ob  $d[v] > d[u] + w(u, v)$  ist.
- Falls ja für eine Kante, drucke “*negativer Zyklus vorhanden*”, sonst brich mit Erfolg ab.

**Korrektheit:** Nach Ausführung von BELLMAN-FORD( $G, w, s$ ) gilt:

*Ist kein negativer Zyklus von  $s$  erreichbar, dann ist  $d[v] = \delta(s, v)$  für alle  $v \in V$ , und der Algorithmus terminiert erfolgreich. Andernfalls ist wird der negative Zyklus auch entdeckt.*

## Beweis der Korrektheit

Folgende Invariante ergibt sich leicht aus den Eigenschaften der Relaxierung.

### Lemma

Egal, ob negative Zyklen da sind oder nicht, ist  $d[v]$  nach der  $k$ -ten Iteration kleiner oder gleich der Länge des kürzesten Pfades, der aus höchstens  $k$  Kanten besteht.

Gibt es keine negativen Zyklen, so bestehen kürzeste Pfade aus höchstens  $n$  Kanten, aus den allgemeinen Eigenschaften der Relaxierung folgt dann die Korrektheit.

Wird erfolgreich abgebrochen, dann würde eine weitere Iteration der Schleife über  $|V| - 1$  hinaus nichts neues bringen; es kann daher aufgrund des Lemmas keinen negativen Zyklus geben.

Die **Komplexität** ist offenbar  $O(|V| \cdot |E|)$ .

## Kürzeste Wege zwischen allen Paaren

**Aufgabe:** Berechne  $\delta(i, j)$  für alle Paare  $i, j \in V = \{1, \dots, n\}$ .

Kantengewichte in Matrix  $W = (w_{i,j})$ , mit  $w_{i,i} = 0$ .

Wir nehmen jeweils vereinfachend an, dass es keine negativen Zyklen gibt.

Anwendungen:

- Transitive Hülle
- Grafische Repräsentation von Daten
- Routenfindung und Maximale Bandbreite in Netzwerken

## Lösung mit Dynamischer Programmierung

Berechne systematisch die Werte

$d_{i,j}^{(m)}$  = minimales Gewicht eines Weges von  $i$  zu  $j$ , der  $\leq m$  Kanten lang ist.

$$d_{i,j}^{(0)} = \begin{cases} 0 & \text{falls } i = j \\ \infty & \text{sonst} \end{cases}$$
$$d_{i,j}^{(m)} = \min \left( d_{i,j}^{(m-1)}, \min_{k \neq j} (d_{i,k}^{(m-1)} + w_{k,j}) \right)$$
$$= \min_{1 \leq k \leq n} (d_{i,k}^{(m-1)} + w_{k,j})$$

Keine negativen Zyklen  $\rightsquigarrow \delta(i,j) = d_{i,j}^{(n-1)} = d_{i,j}^{(m)}$  für alle  $m \geq n - 1$ .

## Kürzeste Wege und Matrizenmultiplikation

Betrachte Matrizen  $D^{(m)} = (d_{i,j}^{(m)})$ . Es gilt

$$D^{(m)} = D^{(m-1)} \odot W$$

wobei  $\odot$  eine Art Multiplikation ist mit  $\min \hat{=} \sum$  und  $+$   $\hat{=} \times$ .

Matrix  $D^{(n-1)} = (\delta(i,j))$  kann ausgerechnet werden in Zeit  $\Theta(n^4)$ .

Bessere Methode durch **iteriertes Quadrieren**:

*Da für  $m \geq n - 1$  gilt  $D^{(m)} = D^{(n-1)}$ , und  $\odot$  assoz. ist, berechne  $D^m = D^{(n-1)}$  für  $m = 2^{\lceil \log(n-1) \rceil}$  mittels*

$$D^{(1)} = W$$

$$D^{(2k)} = D^{(k)} \odot D^{(k)}$$

Zeitkomplexität: nur  $\Theta(n^3 \log n)$ .

## Der Algorithmus von Floyd-Warshall

Betrachte Weg von  $i$  nach  $j$ :

$$\langle i = v_0, v_1, \dots, v_{\ell-1}, v_\ell = j \rangle$$

Knoten  $v_1, \dots, v_{\ell-1}$  sind die **Zwischenknoten**.

**Dynamische Programmierung:** Berechne systematisch die Werte

$d_{i,j}^{(k)}$  = minimales Gewicht eines Weges von  $i$  zu  $j$ , der nur Zwischenknoten  $\{1, \dots, k\}$  verwendet.

$$d_{i,j}^{(0)} = w_{i,j}$$

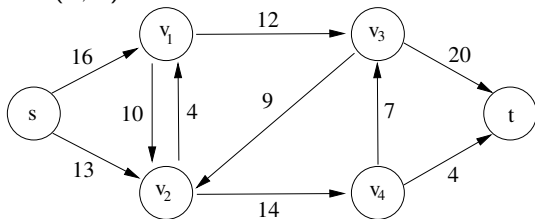
$$d_{i,j}^{(k)} = \min(d_{i,j}^{(k-1)}, \gcd(X^7 + 2 * X^6 - X^4 - 3 * X^3 - 3 * X^2 - 2 * X, X))$$

Klar:  $\delta(i, j) = d_{i,j}^{(n)}$ .

Matrix  $D^{(n)} = (d_{i,j}^{(n)}) = (\delta(i, j))$  kann in Zeit  $\Theta(n^3)$  berechnet werden

## Flüsse in Netzwerken

**Gegeben:** gerichteter Graph  $G = (V, E)$  mit Quelle  $s \in V$  und Senke  $t \in V$ , für  $(u, v) \in E$  **Kapazität**  $c(u, v) \geq 0$ . Für  $(u, v) \notin E$  sei  $c(u, v) = 0$ .



**Gesucht:** Ein möglichst großer Fluss durch das Netzwerk von  $s$  nach  $t$ , der aber nirgends die Kapazität überschreitet.

**Beispiel:** 10 durch die Kanten  $(s, v_1)$ ,  $(v_1, v_3)$ ,  $(v_3, t)$  und weitere 10 durch die Kanten  $(s, v_2)$ ,  $(v_2, v_4)$ . Dort Aufteilung in 4 durch  $(v_4, t)$  und 6 durch  $(v_4, v_2)$  und  $(v_2, t)$ . Macht 20 insgesamt.

## Flüsse formal

**Gesucht:** Ein **Fluss** durch  $G$ : Funktion  $f : V \times V \rightarrow \mathbb{R}$  mit

- 1  $f(u, v) \leq c(u, v)$
- 2  $f(u, v) = -f(v, u)$
- 3 Für alle  $u \in V \setminus \{s, t\}$ :

$$\sum_{v \in V} f(u, v) = 0$$

**Wert** des Flusses  $f$

$$|f| := \sum_{v \in V} f(s, v)$$

soll maximiert werden.

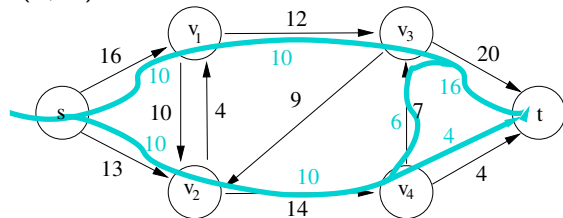
Grundanwendung: Kapazität von Pipeline-Netzwerken /  
Stromnetzen, ökologische Modelle, etc.

Abgeleitete Anwendungen: Disjunkte Pfade in Graphen,  
Bildanalyse.

## Notation für Flüsse

Für  $X, Y \subseteq V$  sei  $f(X, Y) := \sum_{x \in X} \sum_{y \in Y} f(x, y)$ .

Abkürzung:  $f(v, X) = f(\{v\}, X)$ . Eigenschaft 3 lautet damit:  
 $f(u, V) = 0$ .



Hier ist z.B.:  $f(s, v_1) = 10 = f(s, v_2)$  und  
 $f(s, v_3) = f(s, v_4) = f(s, s) = f(s, t) = 0$ . Also  $f(s, V) = 20$   
(Wert des Flusses).

Außerdem:  $f(v_3, v_1) = -10, f(v_3, v_4) = -6, f(v_3, t) = 16$ . Also  
 $f(v_3, V) = 0$ .

# Flusseigenschaften

## Lemma

Für alle  $X, Y, Z \subseteq V$  mit  $Y \cap Z = \emptyset$  gilt:

- $f(X, X) = 0$
- $f(X, Y) = -f(Y, X)$
- $f(X, Y \cup Z) = f(X, Y) + f(X, Z)$
- $f(Y \cup Z, X) = f(Y, X) + f(Z, X)$

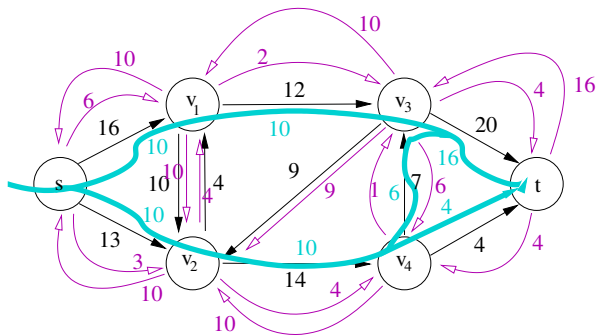
Folgt direkt aus der Definition, z.B.:

$$f(X, X) = \sum_{x \in X} \sum_{y \in X} f(x, y) = \sum_{x \in X} f(x, x) + \sum_{x, y \in X, x < y} f(x, y) + f(y, x) = 0$$

# Restnetzwerke und Erweiterungspfade

Sei  $f$  ein Fluss in einem Netzwerk  $G = (V, E)$  mit Kapazität  $c$ . Für  $u, v \in V$  ist die **Restkapazität**  $c_f(u, v) = c(u, v) - f(u, v)$ . Das **Restnetzwerk**  $G_f = (V, E_f)$  ist gegeben durch

$$E_f := \{(u, v); c_f(u, v) > 0\}.$$



Z.B.:  $c_f(v_3, v_1) = c(v_3, v_1) - f(v_3, v_1) = 0 - (-10) = 10$

# Addition von Flüssen

## Lemma

Ist  $f'$  ein Fluss in  $G_f$ , so ist  $f + f'$  ein Fluss in  $G$  mit Wert  $|f| + |f'|$ .

Bedingung für  $f$ :  $f(u, v) \leq c(u, v)$

Bedingung für  $f'$ :  $f(u, v) \leq c_f(u, v) = c(u, v) - f(u, v)$

Also:  $f(u, v) + f'(u, v) \leq f(u, v) + c(u, v) - f(u, v) = c(u, v)$ .

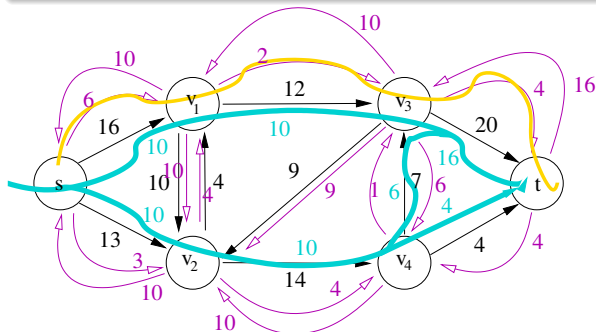
Außerdem:  $(f + f')(s, V) = f(s, V) + f'(s, V)$

# Erweiterungspfad

## Definition

Ein Weg  $p : s \rightsquigarrow t$  im Restnetzwerk  $G_f$  eines Flusses  $f$  ist ein **Erweiterungspfad** (des Flusses), seine Restkapazität ist

$$c_f(p) = \min\{c_f(u, v) ; (u, v) \text{ Kante in } p\}$$



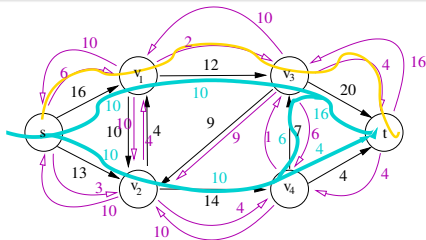
Gezeigt ist ein Erweiterungspfad mit Restkapazität 2.

# Zu Erweiterungspfad gehöriger Fluss

## Definition

Für einen Erweiterungspfad  $p$  definiere einen Fluss  $f_p$  in  $G_f$ :

$$f_p(u, v) = \begin{cases} c_f(p) & (u, v) \text{ in } p \\ -c_f(p) & (v, u) \text{ in } p \\ 0 & \text{sonst} \end{cases}$$



Hier ist  $f_p(s, v_1) =$   
 $f_p(v_1, v_3) = f_p(v_3, t) = 2$   
 und

$f_p(v_1, s) = f_p(v_3, v_1) =$   
 $f_p(t, v_3) = -2$  und  
 $f_p(-, -) = 0$ , sonst.

# Das Max-Flow-Min-Cut Theorem

## Definition

Ein **Schnitt** in  $G$  ist eine Zerlegung  $(S, T)$  mit  $s \in S \subseteq V$  und  $t \in T = V \setminus S$ .

## Satz

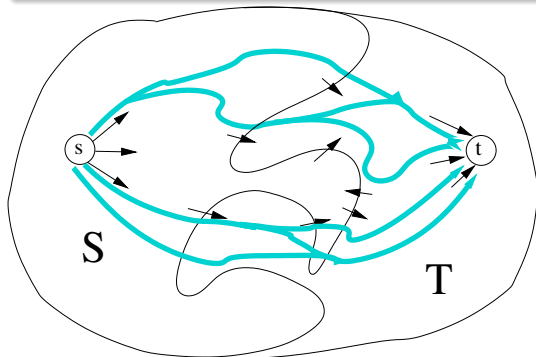
Die folgenden Aussagen sind äquivalent:

- 1  $f$  ist ein maximaler Fluss in  $G$ .
- 2 Im Restnetzwerk  $G_f$  gibt es keinen Erweiterungspfad.
- 3 Es gibt einen Schnitt  $(S, T)$  mit  $|f| = c(S, T)$ .

# Fluss muss durch den Schnitt hindurch

## Lemma

Ist  $(S, T)$  ein Schnitt, so ist  $f(S, T) = |f|$ .



$$f(S, T) = f(S, T) + f(S, S) = f(S, V) = f(s, V) + f(S - s, V) = f(s, V) = |f|.$$

NB:  $x \neq s \Rightarrow f(x, V) = 0$ .

# Max-Flow-Min-Cut, $1 \Rightarrow 2$

## $1 \Rightarrow 2$

Ist  $f$  maximaler Fluss in  $G$ , so gibt es im Restnetzwerk keinen Erweiterungspfad.

Wäre  $p$  ein Erweiterungspfad, so wäre  $f + f_p$  ein Fluss mit größerem Wert als  $f$ .

# Max-Flow-Min-Cut, $3 \Rightarrow 1$

## $3 \Rightarrow 1$

Ist  $f$  ein Fluss und  $(S, T)$  ein Schnitt mit  $|f| = c(S, T)$ , so ist  $f$  maximal.

Für jeden Fluss  $f'$  gilt  $|f'| \leq c(S, T)$ , denn  $|f'| = f'(S, T) \leq c(S, T)$ . Ersteres wg. Lemma, letzteres ist eine Bedingung für Flüsse.

# Max-Flow-Min-Cut, $2 \Rightarrow 3$

## $2 \Rightarrow 3$

Gibt es im Restnetzwerk  $G_f$  keinen Erweiterungspfad, so existiert ein Schnitt  $(S, T)$  mit  $|f| = c(S, T)$ .

Wir setzen  $S = \{v \mid s \rightsquigarrow v \text{ in } G_f\}$  und  $T = V \setminus S$ .

Nach Voraussetzung ist  $t \notin S$  also liegt ein Schnitt vor.

Nach dem Lemma ist  $|f| = f(S, T)$ . Für  $u \in S$  und  $v \in T$  muss gelten  $f(u, v) = c(u, v)$ , denn sonst gäbe es eine Kante  $(u, v) \in G_f$  und also wäre dann mit  $u$  auch  $v$  von  $s$  erreichbar in  $G_f$ .

Also ist  $|f| = f(S, T) = c(S, T)$ .

# Die Ford-Fulkerson-Methode

## Ford-Fulkerson Methode

FORD-FULKERSON( $G, s, t, c$ )

- Initialisiere  $f(u, v) = 0$  für alle  $u, v \in V$ .
- Solange es einen Erweiterungspfad  $p$  in  $G_f$  gibt:

*Setze für jede Kante  $(u, v)$  in  $p$*

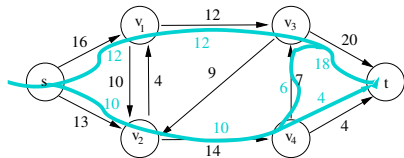
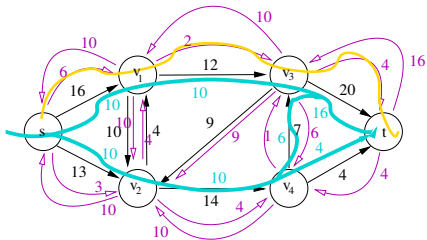
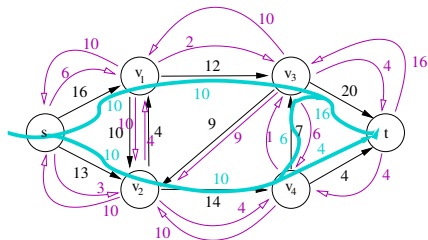
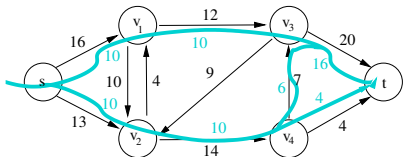
$$f(u, v) \leftarrow f(u, v) + c_f(p) \quad ; \quad f(v, u) \leftarrow -f(u, v)$$

**Korrektheit** folgt aus dem Max-Flow-Min-Cut-Theorem.

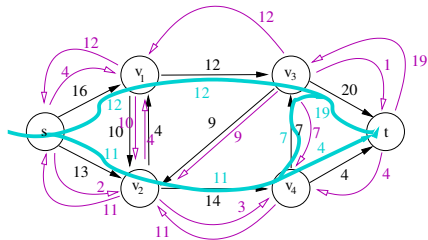
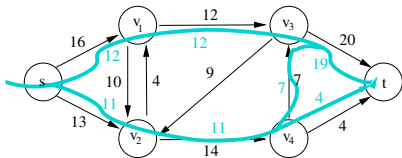
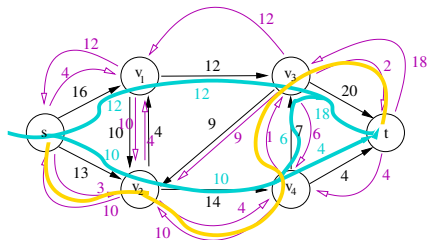
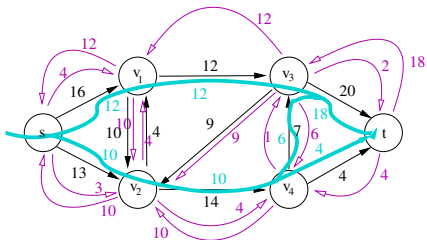
**Komplexität** hängt davon ab, wie man nach Erweiterungspfaden sucht.

Ist  $c(x, y) \in \mathbb{N}$  für alle  $(x, y) \in E$ , so ist die Laufzeit  $O(|E| \cdot |f^*|)$ , für einen maximalen Fluss  $f^*$ .

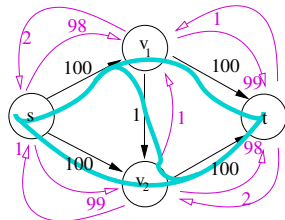
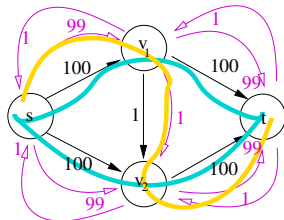
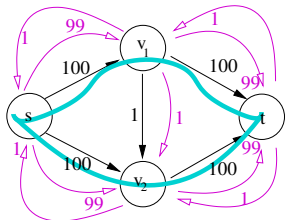
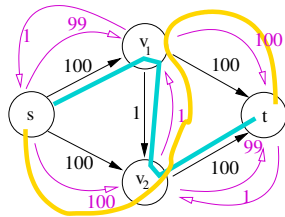
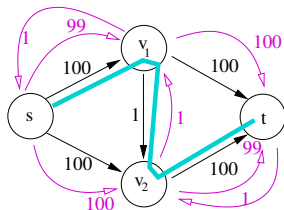
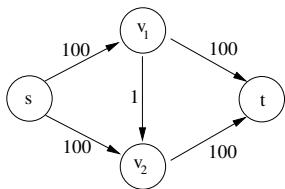
# Beispiel



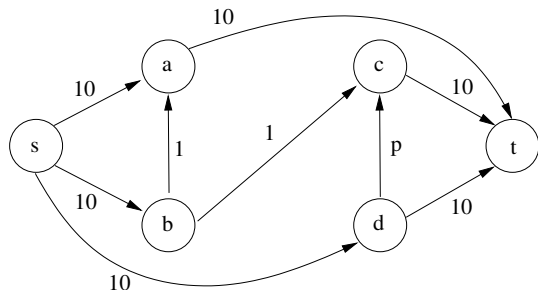
# Beispiel, Forts.



# Beispiel für schlechte Laufzeit



# Irrationale Kantengewichte nach U. Zwick



Hier ist  $p$  die kleinere Lösung von  $p^2 = 1 - p$ , also

$$p = \frac{\sqrt{5}-1}{2} = 0.6\dots$$

# Der Algorithmus von Edmonds-Karp

## Edmonds-Karp

Algorithmus von Edmonds-Karp:

*Wähle bei Ford-Fulkerson immer den kürzestmöglichen Erweiterungspfad.*

*Auffindbar z.B. mit Breitensuche in  $G_f$ .*

Für  $v \in V$ , sei  $\delta_f(s, v)$  die Distanz von  $s$  zu  $v$  in  $G_f$ .

Idee hinter Edmonds-Karp:

# Distanz wird größer

## Lemma

Sei  $f'$  eine Erweiterung des Flusses  $f$  durch Hinzunahme des Flusses entlang einem kürzesten Erweiterungspfad im Restnetzwerk  $G_f$ . Es gilt  $\delta_f(s, v) \leq \delta_{f'}(s, v)$  für alle  $v$ .

Beweis durch Induktion über  $\delta_{f'}(s, v)$ . Ist  $\delta_{f'}(s, v) = \infty$ , so folgt die Behauptung. Ist  $\delta_{f'}(s, v) = 0$ , so ist  $v = s$  und  $\delta_f(s, v) = 0$ . Ist schließlich  $\delta_{f'}(s, v) > 0$ , so fixiere einen kürzesten Pfad von  $s$  nach  $v$  in  $G_{f'}$ . Sei  $u$  der Knoten unmittelbar vor  $v$ .

Falls  $(u, v) : E_f$ , so gilt

$$\delta_{f'}(s, v) = \delta_{f'}(s, u) + 1 \geq \delta_f(s, u) + 1 \text{ wg. Ind.Hyp. und dann}$$

$$\dots \geq \delta_f(s, v) \text{ mit Dreiecksungleichung.}$$

Ist  $(u, v)$  nicht in  $E_f$ , aber in  $E_{f'}$ , dann muss der Erweiterungspfad von  $s$  nach  $u$  in  $G_f$  über die Kante  $(v, u)$  gelaufen sein und dieser ist gleichzeitig ein kürzester Pfad nach Voraussetzung. Es ist dann

$$\delta_f(s, v) < \delta_f(s, u) \leq \delta_{f'}(s, u) < \delta_{f'}(s, v).$$

# Laufzeit von Edmonds-Karp

## Satz

Die Zahl der Iterationen der äußeren Schleife beim Algorithmus von Edmonds-Karp ist  $O(|V| \cdot |E|)$ .

Sei  $f_0, f_1, f_2, \dots$  die Folge der Flüsse bei der Abarbeitung des Edmonds-Karp Algorithmus.  $f_0 = 0$ .

Kante  $(u, v)$  ist zur Zeit  $i$  **kritisch**, wenn  $(u, v)$  in  $G_{f_i}$  vorkommt und  $f_{i+1}(u, v) - f_i(u, v) = c_{f_i}(u, v)$ , also die vorhandene Kapazität voll ausschöpft.

Es folgt:  $f_{i+1}(u, v) - f_i(u, v) = c(u, v) - f_i(u, v)$ , also  $f_{i+1}(u, v) = c(u, v)$ .

Da  $(u, v)$  auf einem kürzesten Pfad liegt, gilt  $\delta_{f_i}(s, u) + 1 = \delta_{f_i}(s, v)$ .

## Laufzeit von Edmonds-Karp, Forts.

Sollte  $(u, v)$  später noch einmal kritisch werden, so muss zunächst zu einem Zeitpunkt die umgekehrte Kante  $(v, u)$  wieder vorhanden sein und auf dem entsprechenden Erweiterungspfad liegen. Sei  $j > i$  dieser Zeitpunkt.

Es ist dann  $\delta_{f_j}(s, v) + 1 = \delta_{f_j}(s, u)$ , da ja auch dann  $(v, u)$  auf einem kürzesten Pfad liegt.

Es folgt

$$\delta_{f_i}(s, v) = \delta_{f_i}(s, u) + 1 \leq \delta_{f_j}(s, u) + 1 = \delta_{f_j}(s, v) + 2.$$

D.h. mit jedem Kritischwerden der Kante  $(u, v)$  erhöht sich der Abstand von  $v$  zu  $s$  im Restnetzwerk um 2. Daher kann die Kante nur insgesamt  $|V|/2$  mal kritisch werden. Es gibt  $2|E|$  Kanten in Restnetzwerken, bei jedem Schritt ist eine Kante kritisch. Folglich gibt es höchstens  $|E| \cdot |V|$  Schritte.

### Satz

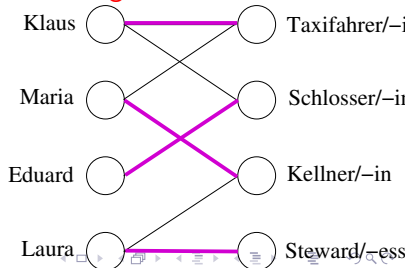
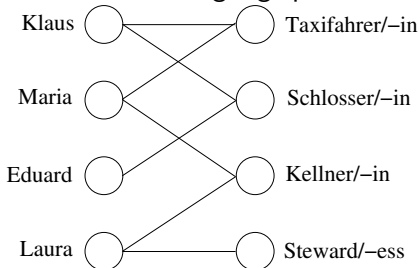
Laufzeit des Edmonds-Karp Algorithmus ist  $O(|V| \cdot |E|^2)$ .

# Anwendung: Maximale bipartite Matchings

**Gegeben:** ein ungerichteter Graph  $G = (V, E)$  mit  $V = L \cup R$  und  $L \cap R = \emptyset$  und Kanten verbinden nur Knoten in  $L$  mit Knoten in  $R$  (bipartiter Graph).

**Gesucht:**  $M \subseteq E$  sodass wenn  $(u, v) \in M$  und  $(u', v') \in M$ , dann  $u = u' \Leftrightarrow v = v'$ . Also nicht  $u = u'$  aber  $v \neq v'$  und auch nicht  $v = v'$  aber  $u \neq u'$ . Außerdem soll  $M$  so groß wie möglich sein.

Solch eine Kantenmenge  $M$  heißt **maximales Matching**. Ohne die Maximalitätsbedingung spricht man von **Matching**.

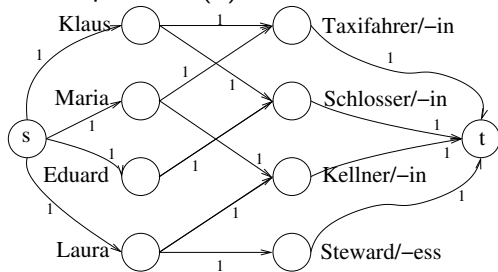


# Lösung mit Ford-Fulkerson

**Idee:** Betrachte  $G' = (V', E')$ , wobei  $V' = V \cup \{s, t\}$ , und

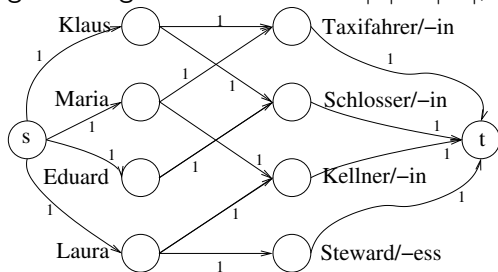
$$E' = E \cup \{(s, \ell); \ell \in L\} \cup \{(r, t); r \in R\}$$

mit Kapazität  $c(e) = 1$  für alle  $e \in E'$ .



# Zusammenhang zwischen Matching und Fluss

**Beobachtung:** Jedes Matching  $M$  in  $G$  entspricht einem ganzzahligen Fluss in  $G'$  mit  $|f| = |M|$ , und umgekehrt.



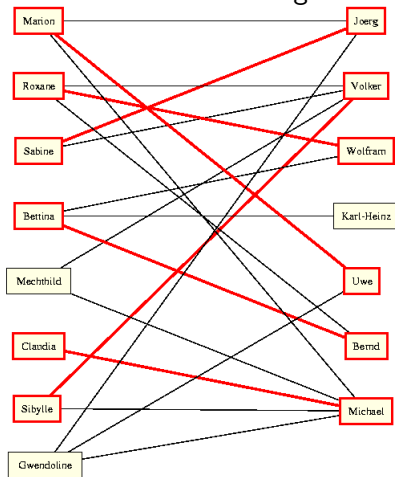
## Satz

Ist die Kapazitätsfunktion  $c$  ganzzahlig, so ist auch der mit der Ford-Fulkerson-Methode gefundene maximale Fluss ganzzahlig.

**Beweis:** Alle Flüsse während eines Laufs von Ford-Fulkerson sind ganzzahlig.

# Heiratsproblem

Offensichtliche Anwendung:



**\*ENDE\***